

1/11

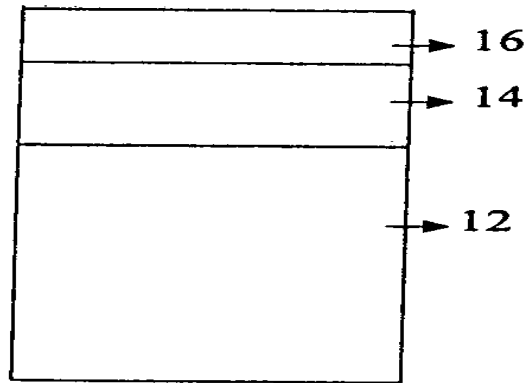


FIG. 1

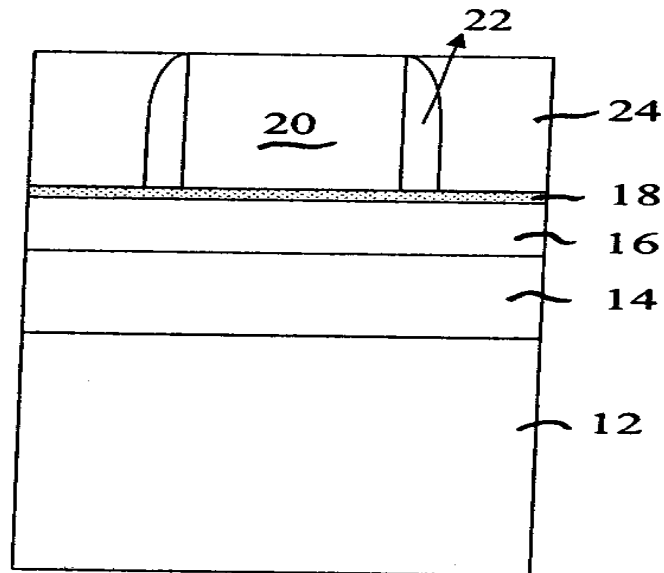


FIG. 2

2/11

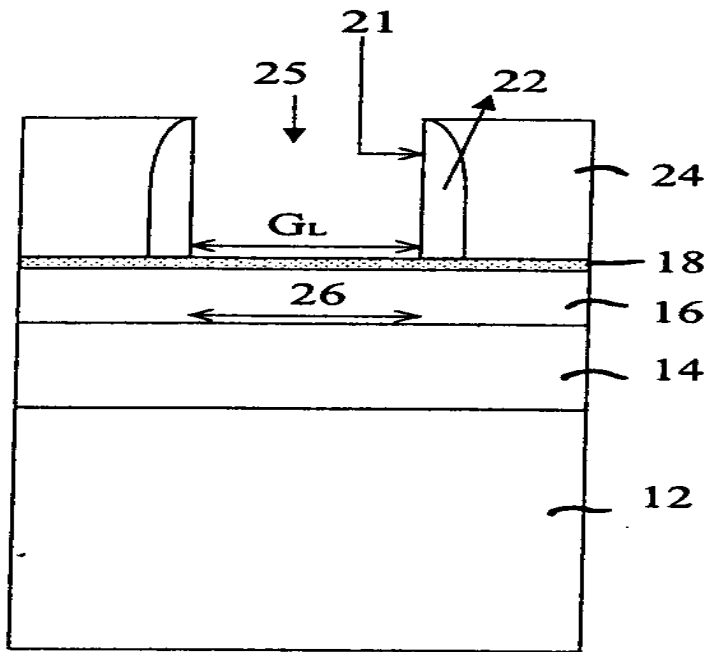


FIG. 3

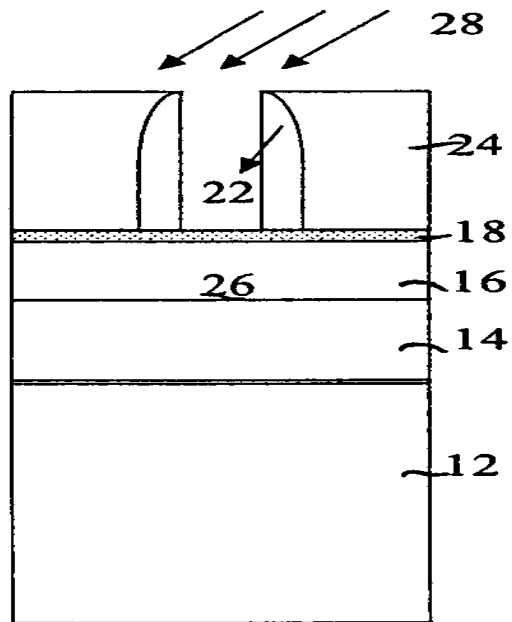


FIG. 4A

3/11

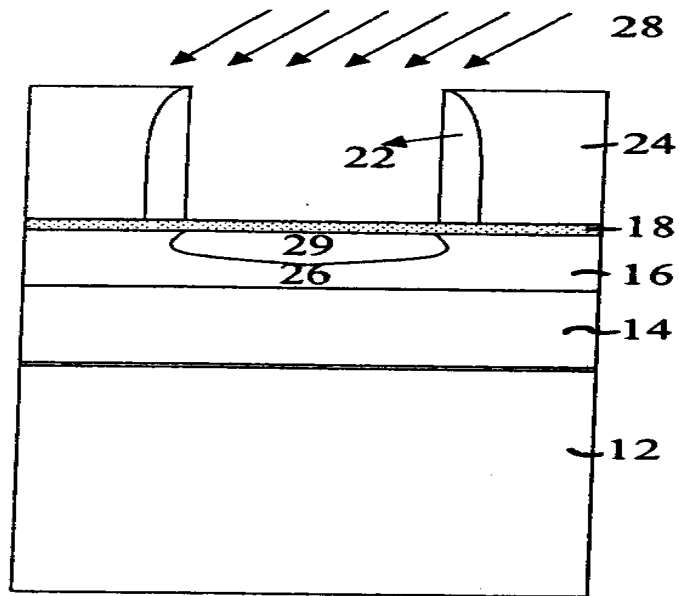


FIG. 4B

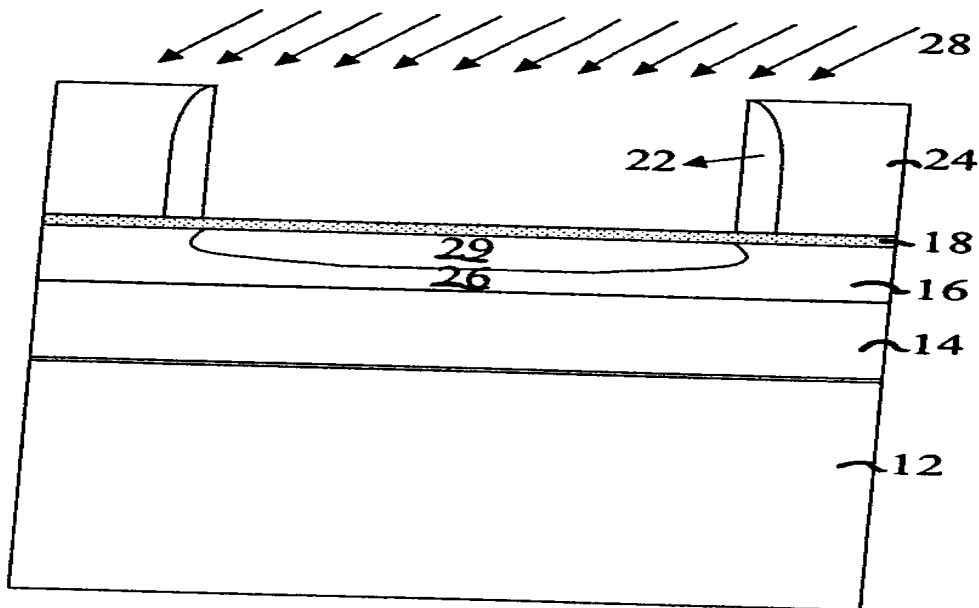


FIG. 4C

4/11

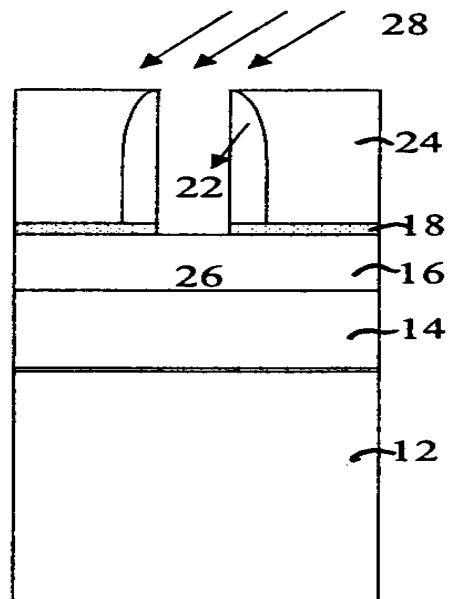


FIG. 5A

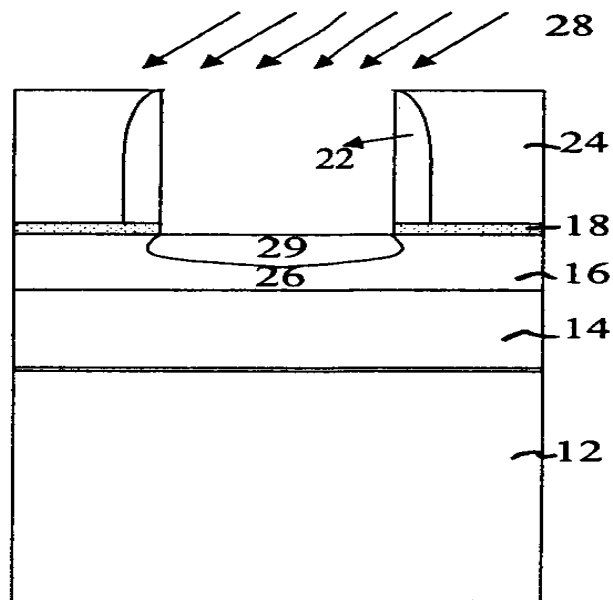


FIG. 5B

5/11

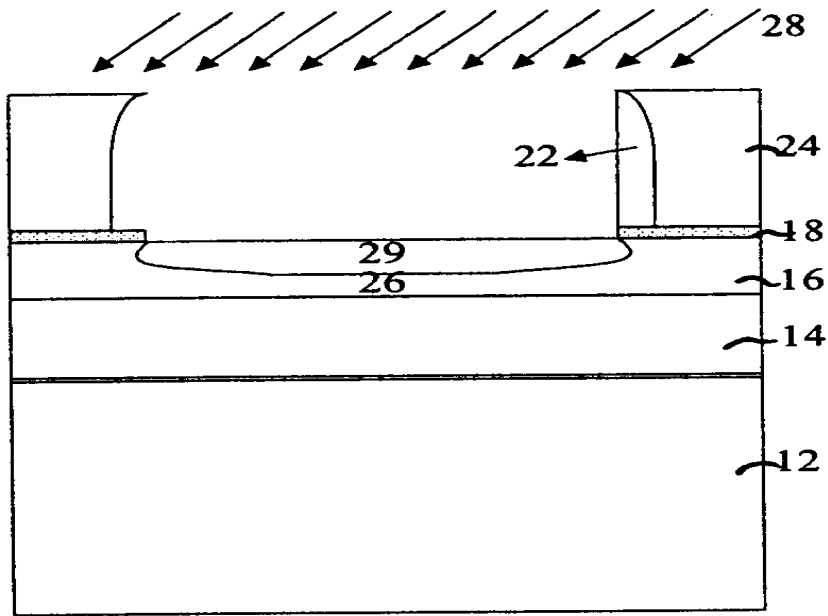


FIG. 5C

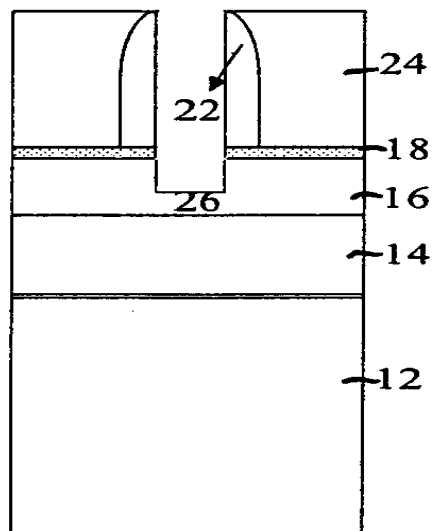


FIG. 6A:

6/11

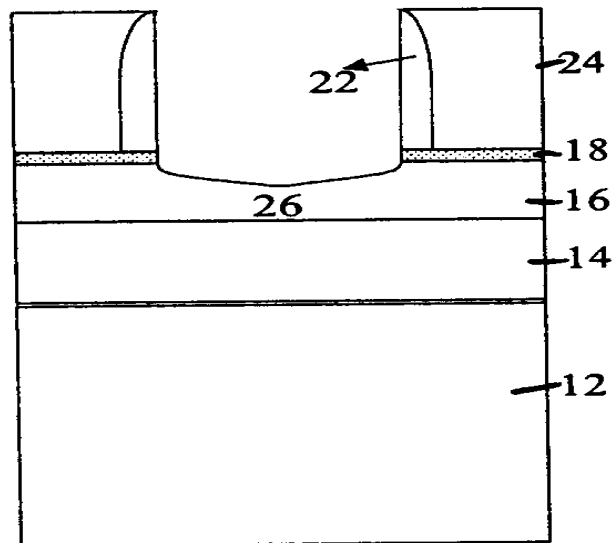


FIG. 6B:

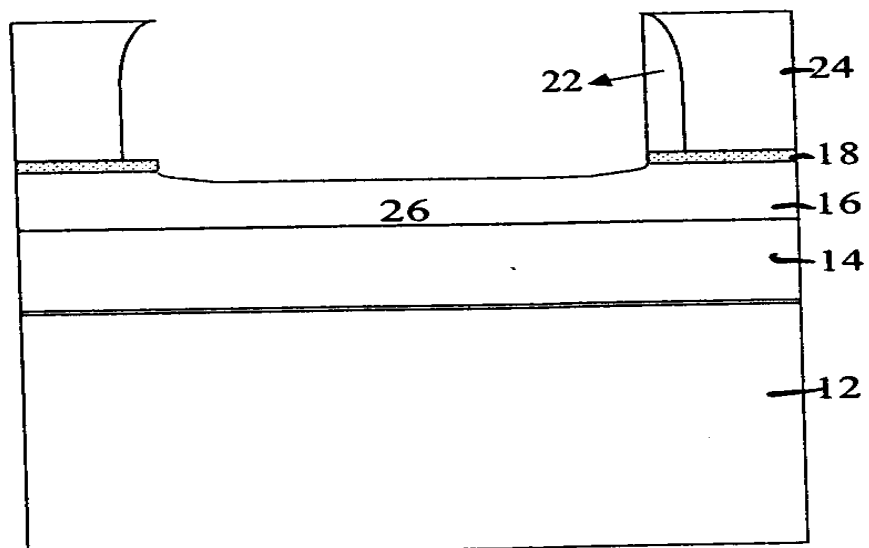


FIG. 6C:

7/11

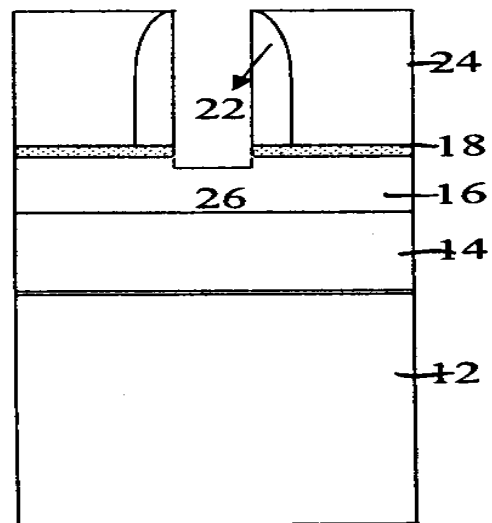


FIG. 6 A ii

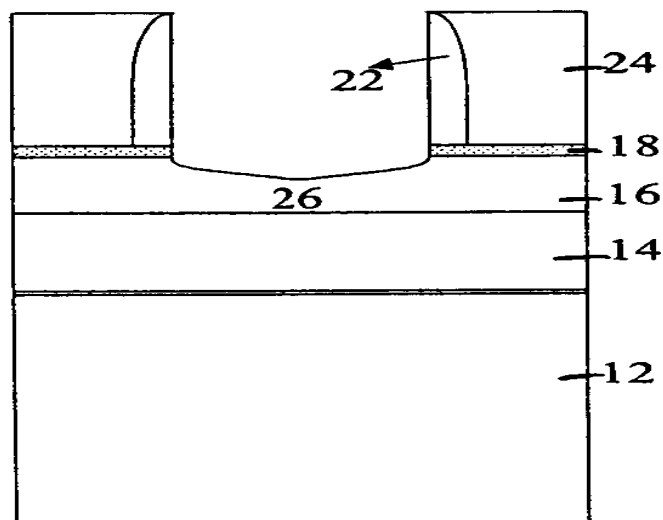


FIG. 6 B ii

8/11

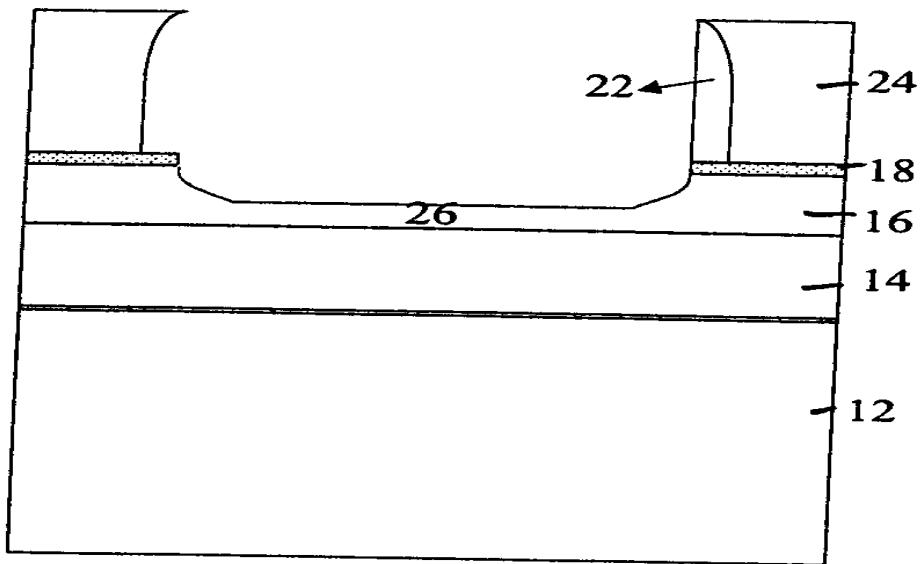


FIG. 6 Cii

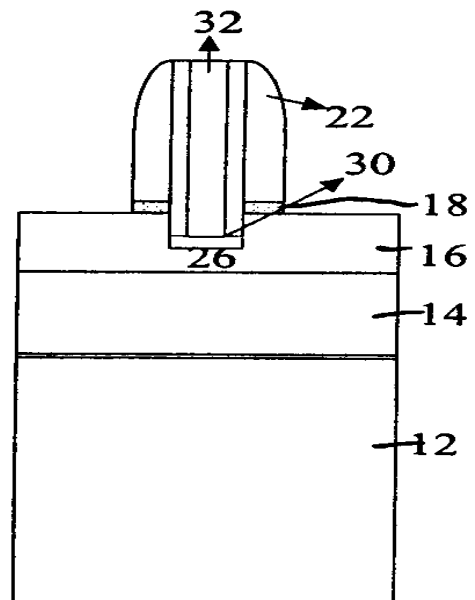


FIG. 7A

9/11

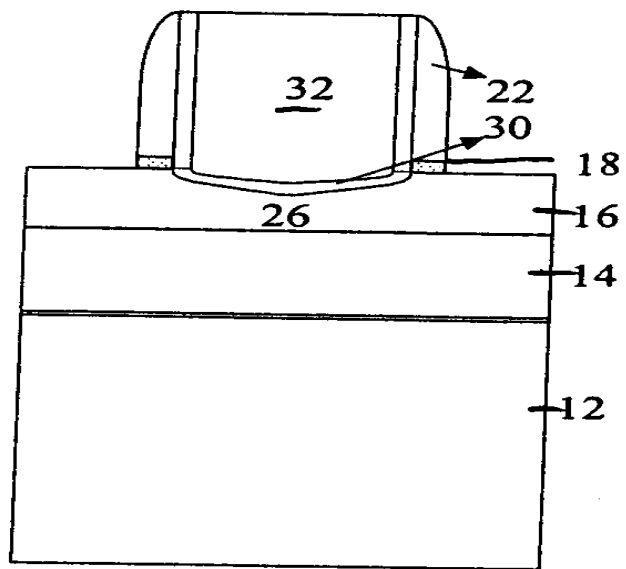


FIG. 7B

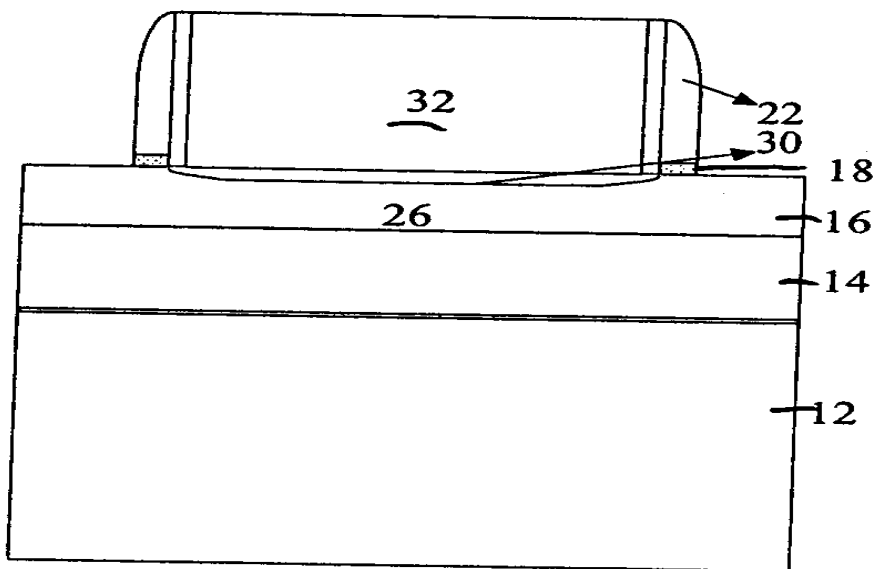


FIG. 7C

10/11

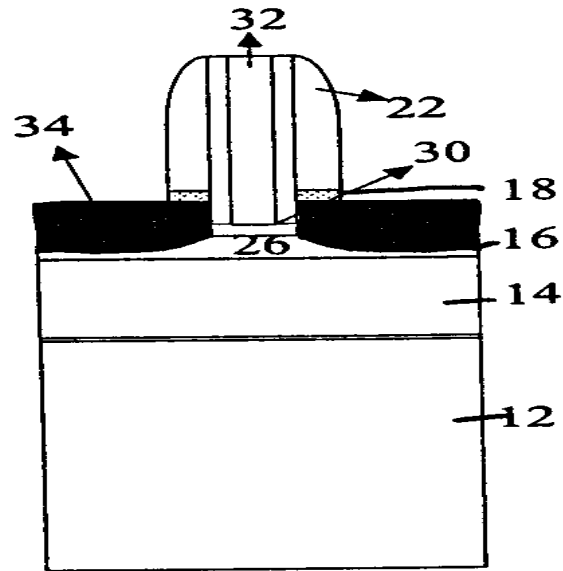


FIG 8A

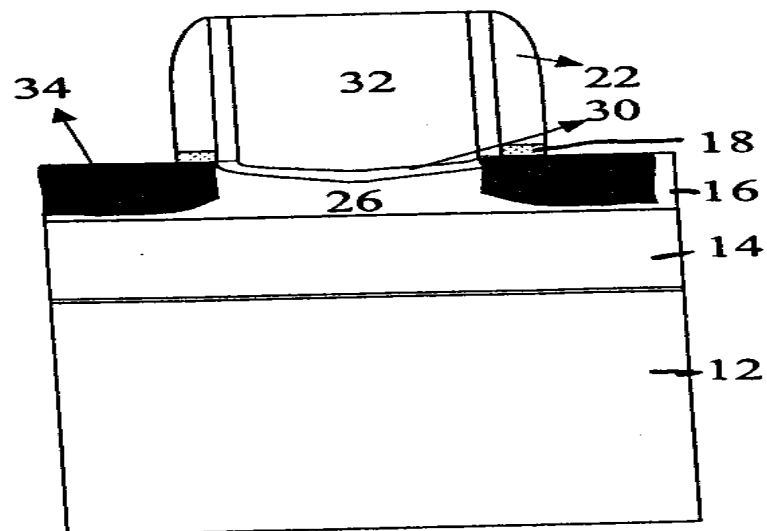


FIG. 8B

11/11

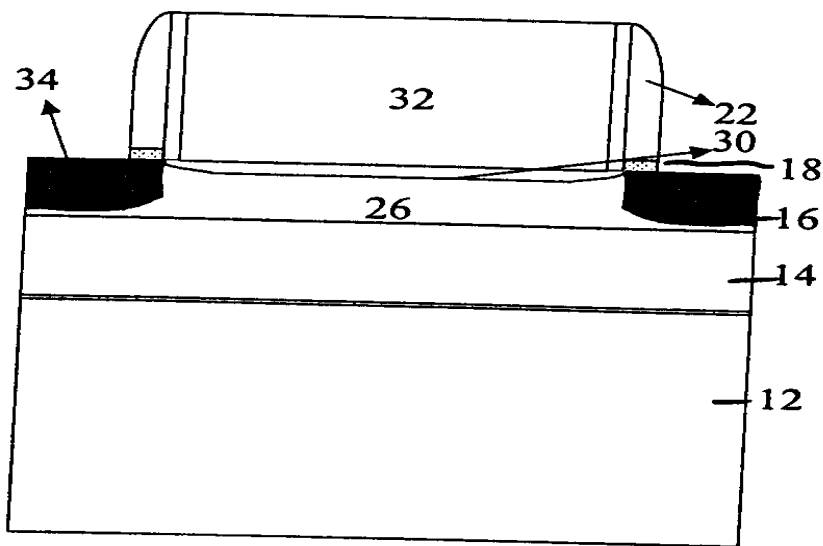


FIG. 8C

T_{Si} vs. L_G , $V_{tsat}=0.26V$ (n-type metal gate), $N_B=1 \times 10^{19} \text{ cm}^{-3}$

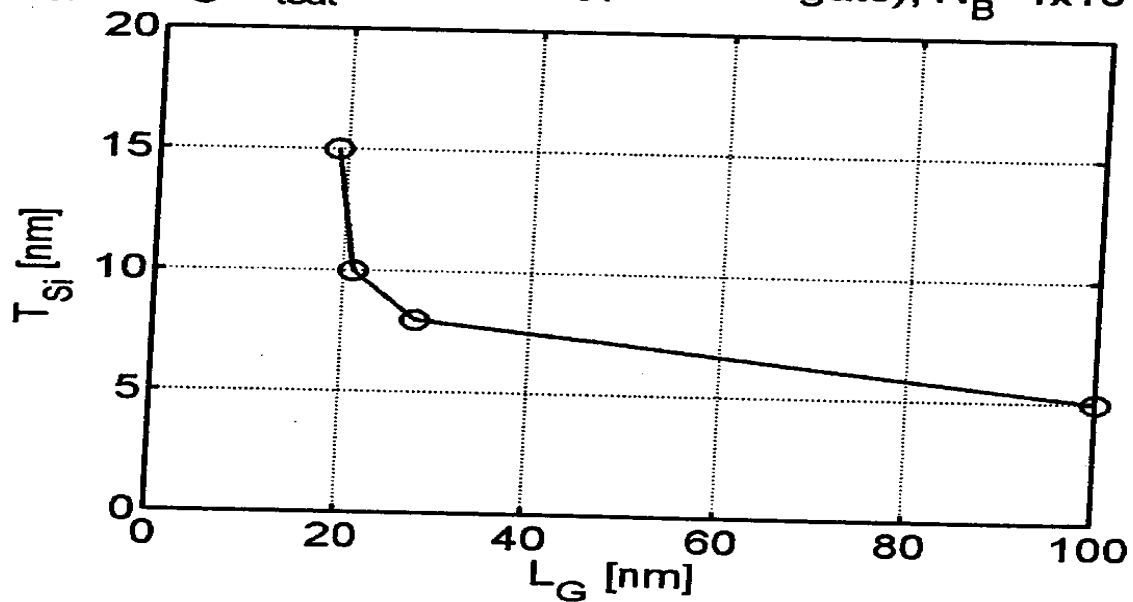


FIG. 9